

# Markov-Partitionen und geometrische Modelle von Attraktoren

Jan Christoph Kinne

15. Februar 2003

Was sind Markov-Partitionen?

Hat man ein diskretes dynamisches System  $f : M \rightarrow M$  gegeben, so will man  $M$  in eine endliche Zahl von Markovpartitionen  $\bigcup M_i = M$  zerlegen, so dass man jeden Punkt dadurch beschreiben kann, in welchen Gebieten  $M_i$  seine Trajektorie liegt.

Man kann eine Punkt dann durch eine Folge representieren, wobei das  $i$ -te Element der Folge angibt, in welcher Teilmenge sich die  $i$ -te Iteration des Punktes befindet.

Damit ist das Anwenden der Abbildung auf den Punkt gerade das Verschieben der Folge.

#### Was sind Markov-Partitionen?

Hat man ein diskretes dynamisches System  $f : M \rightarrow M$  gegeben, so will man  $M$  in eine endliche Zahl von Markovpartitionen  $\bigcup M_i = M$  zerlegen, so dass man jeden Punkt dadurch beschreiben kann, in welchen Gebieten  $M_i$  seine Trajektorie liegt.

Man kann eine Punkt dann durch eine Folge representieren, wobei das  $i$ -te Element der Folge angibt, in welcher Teilmenge sich die  $i$ -te Iteration des Punktes befindet.

Damit ist das Anwenden der Abbildung auf den Punkt gerade das Verschieben der Folge.

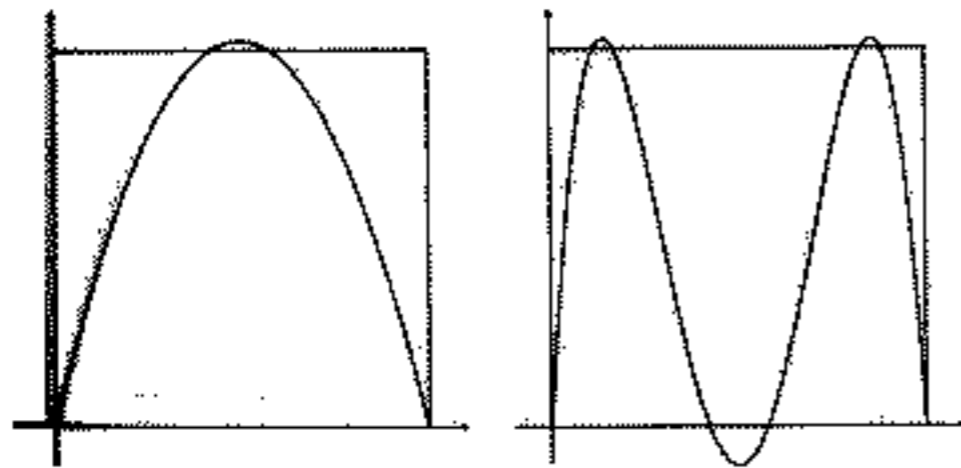
#### Der Vortrag

- Quadratische Abbildung  $f_\lambda : [0, 1] \rightarrow \mathbb{R} : x \mapsto \lambda x(1 - x)$
- Smale's Horseshoe - eine verwandte Abbildung in definiert auf  $[0, 1]^2$
- Verzicht auf die Linearität des Horseshoes
- Automorphismen auf dem Torus
- Definition der Markovpartitionen
- Sätze zur Existenz von Markovpartitionen

Quadratische Abbildung  $f_\lambda : [0, 1] \rightarrow \mathbb{R} : x \mapsto \lambda x(1 - x)$  .

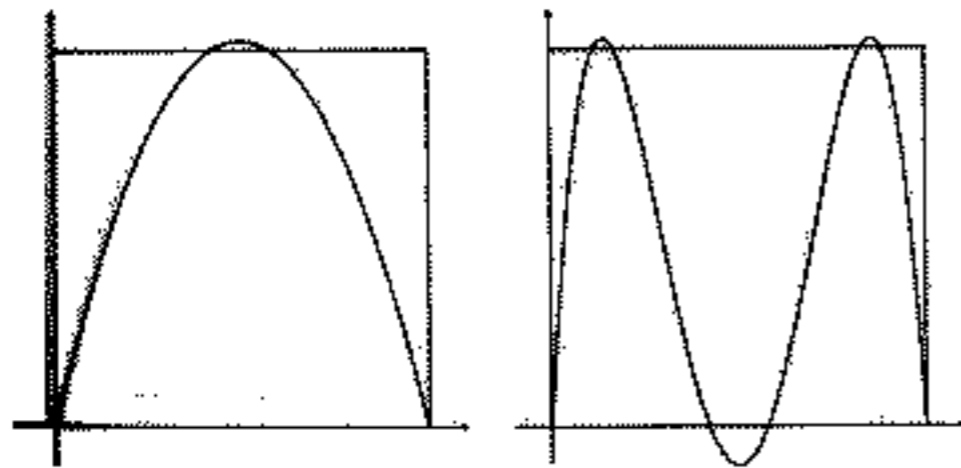
$$\lambda > 2(1 + \sqrt{2})$$

$f(x)$  und  $f(f(x))$



Quadratische Abbildung  $f_\lambda : [0, 1] \rightarrow \mathbb{R} : x \mapsto \lambda x(1 - x)$  .

$\lambda > 2(1 + \sqrt{2})$   
 $f(x)$  und  $f(f(x))$



$$x \in (-\infty, 0) \Rightarrow \lim_{n \rightarrow \infty} f^n(x) \rightarrow -\infty$$

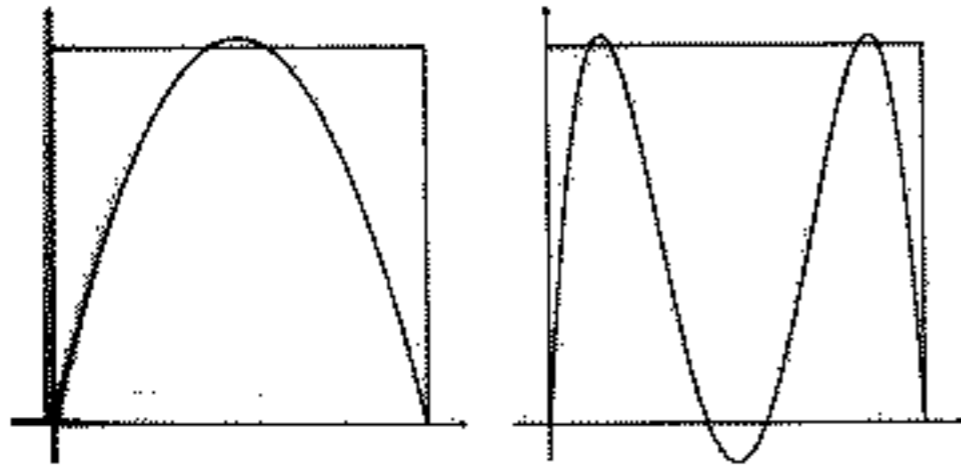
$$x \in (1, \infty) \Rightarrow \lim_{n \rightarrow \infty} f^n(x) \rightarrow -\infty$$

Punkte mit beschränktem Orbit

$$\Lambda := \bigcap_{n \in \mathbb{N}} f^{-n}([0, 1])$$

Wie beschreibt man diese Punkte?

$$\Delta^1 = \left[ 0, \frac{1}{2} - \sqrt{\frac{1}{4} - \frac{1}{\lambda}} \right] \text{ und } \Delta^2 = \left[ \frac{1}{2} + \sqrt{\frac{1}{4} - \frac{1}{\lambda}}, 1 \right]$$
$$f^{-1}([0, 1]) = \Delta^1 \cup \Delta^2$$

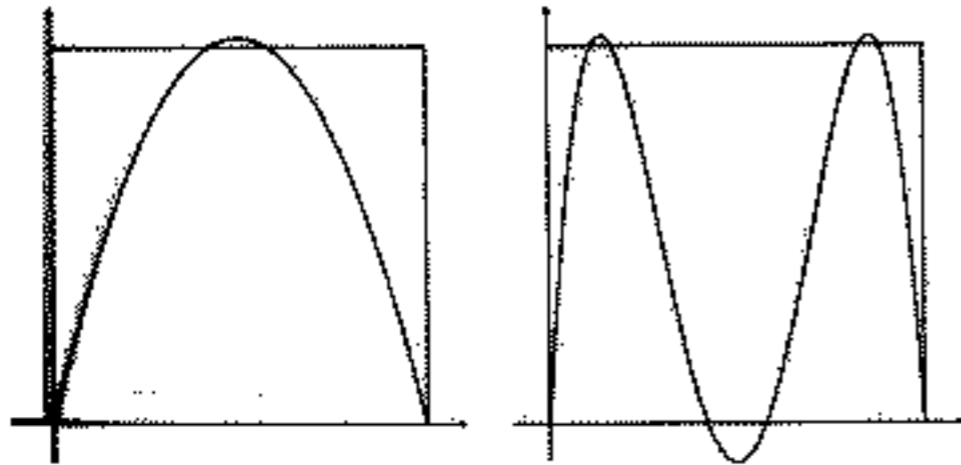


Wie beschreibt man diese Punkte?

$$\Delta^1 = \left[ 0, \frac{1}{2} - \sqrt{\frac{1}{4} - \frac{1}{\lambda}} \right] \quad \text{und} \quad \Delta^2 = \left[ \frac{1}{2} + \sqrt{\frac{1}{4} - \frac{1}{\lambda}}, 1 \right]$$

$$f^{-1}([0, 1]) = \Delta^1 \cup \Delta^2$$

Allgemein hat jedes Intervall  $J \subset [0, 1]$  zwei Urbilder eines in  $\Delta^1$  und eines in  $\Delta^2$ .



Wie beschreibt man diese Punkte?

$$\Delta^1 = \left[ 0, \frac{1}{2} - \sqrt{\frac{1}{4} - \frac{1}{\lambda}} \right] \quad \text{und} \quad \Delta^2 = \left[ \frac{1}{2} + \sqrt{\frac{1}{4} - \frac{1}{\lambda}}, 1 \right]$$

$$f^{-1}([0, 1]) = \Delta^1 \cup \Delta^2$$

Allgemein hat jedes Intervall  $J \subset [0, 1]$  zwei Urbilder eines in  $\Delta^1$  und eines in  $\Delta^2$ .  
Es existiert  $\xi$  mit  $f'(x) > \xi > 1$  auf  $f^{-1}([0, 1])$ , wobei  $\lambda > 2(1 + \sqrt{2})$ .

$$|f'(x)| = |\lambda(1 - 2x)| \geq \lambda \left| 1 - 2 \left( \frac{1}{2} - \sqrt{\frac{1}{4} - \frac{1}{\lambda}} \right) \right| = \sqrt{\frac{\lambda^2}{4} - \lambda} = \sqrt{\left( \frac{\lambda}{2} - 1 \right)^2 + 1} > 1$$



Identifikation mit Folgen

Folge  $\omega = (\omega_i)_{i \in \mathbb{N}}$  mit  $\omega_i \in \{1, 2\}$  - später  $\omega \in \Sigma_2^R$ .

Man betrachte dann die Intervalle

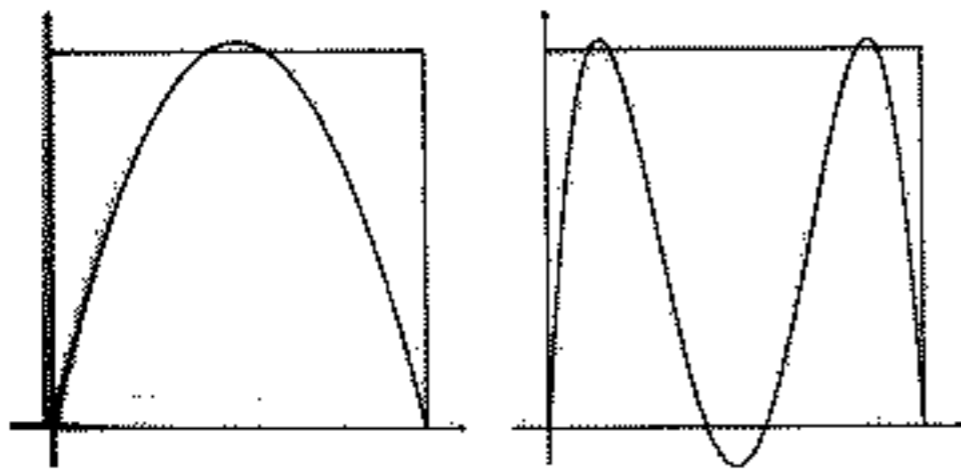
$$\bigcap_{i=1}^N f^{-i+1}(\Delta^{\omega_i}).$$

Deren Länge geht exponentiell mit  $\xi^{-N}$  nach Null und sie sind nie leer.

Daher existiert eine Abbildung

$$h(\omega) = \bigcap_{i \in \mathbb{N}} f^{-i+1}(\Delta^{\omega_i}).$$

$h$  bijektiv auf  $\Lambda$ , da jedes Bild entweder in  $\Delta^1$  oder in  $\Delta^2$  ist.



Um Stetigkeit zu zeigen, benötigt man zuerst eine Metrik auf  $\Sigma_2^R$

Für  $k \in \mathbb{N}$  sei  $\Sigma_k$  die Menge der zweiseitigen Folgen über Menge der Symbolen  $M = \{1, \dots, k\}$

$$\Sigma_k := \{(a_i)_{i \in \mathbb{Z}} \mid a_i \in \{1, \dots, k\}\} \text{ und}$$

und das einseitige Pendant

$$\Sigma_k^R := \{(a_i)_{i \in \mathbb{N}} \mid a_i \in \{1, \dots, k\}\}$$

Metrik:

$$d(a, b) = \sum_{i \in \mathbb{Z}} \delta_{a_i, b_i} 2^{-|i|}$$

bzw.

$$d(a, b) = \sum_{i \in \mathbb{N}} \delta_{a_i, b_i} 2^{-|i|},$$

wobei  $\delta_{a_i, b_i} := 0$  für  $a_i = b_i$  und  $\delta_{a_i, b_i} := 1$  sonst.

Für  $k \in \mathbb{N}$  sei  $\Sigma_k$  die Menge der zweiseitigen Folgen über Menge der Symbolen  $M = \{1, \dots, k\}$

$$\Sigma_k := \{(a_i)_{i \in \mathbb{Z}} \mid a_i \in \{1, \dots, k\}\} \text{ und}$$

und das einseitige Pendant

$$\Sigma_k^R := \{(a_i)_{i \in \mathbb{N}} \mid a_i \in \{1, \dots, k\}\}$$

Metrik:

$$d(a, b) = \sum_{i \in \mathbb{Z}} \delta_{a_i, b_i} 2^{-|i|}$$

bzw.

$$d(a, b) = \sum_{i \in \mathbb{N}} \delta_{a_i, b_i} 2^{-|i|},$$

wobei  $\delta_{a_i, b_i} := 0$  für  $a_i = b_i$  und  $\delta_{a_i, b_i} := 1$  sonst.

Für das definierte

$$h(\omega) = \bigcap_{i \in \mathbb{N}} f^{-i}(\Delta^{\omega_i}).$$

gilt dann:

$h$  stetig, da  $\bigcap_{i=1}^N f^{-i}(\Delta^{\omega_i})$  mit  $\xi^{-n}$  gegen Null geht.

$h^{-1}$  ist stetig, da  $f$  stetig ist.

Zwei  $C^r$  Abbildungen  $f : M \rightarrow M$  und  $g : N \rightarrow N$  heißen *topologisch konjugiert*, wenn ein Homeomorphismus  $h : M \rightarrow N$  existiert mit  $f = h^{-1} \circ g \circ h$ .

Eine Abbildung  $g : N \rightarrow N$  heißt *Faktor* (bzw. *topologischer Faktor*) von der Abbildungen  $f : M \rightarrow M$ , wenn eine stetige Abbildung  $h : M \rightarrow N$  existiert mit  $h \circ f = g \circ h$ .  $h$  heißt *Semikonjugation*.

Hier gilt

$$\sigma = h^{-1} \circ f \circ h$$

Mit dem Shift  $\sigma$

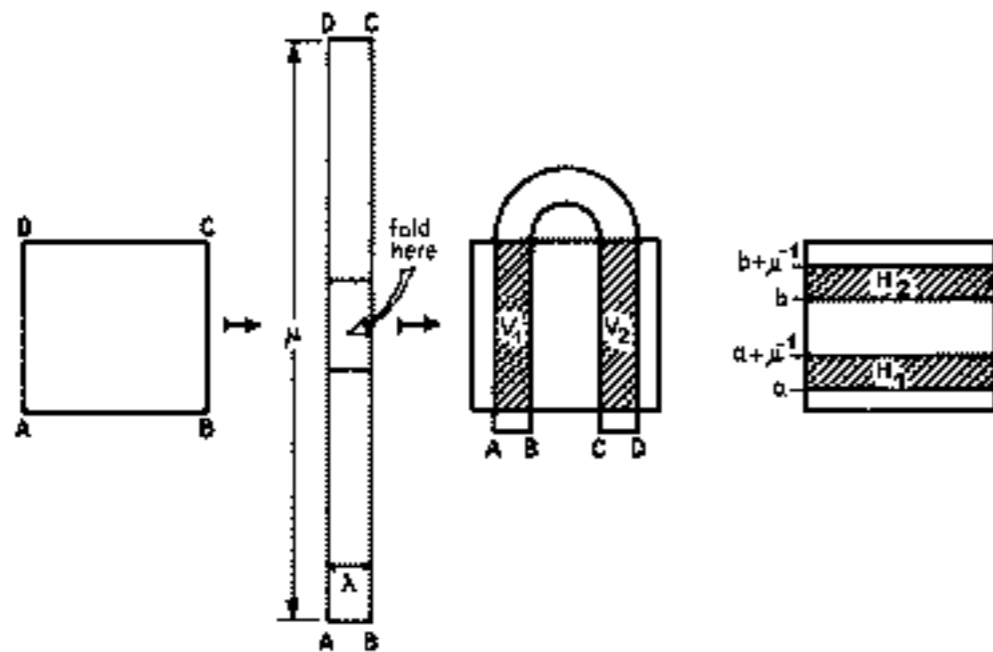
$$\begin{aligned} \sigma((a_i)_{i \in \mathbb{Z}}) &= (a_{i+1})_{i \in \mathbb{Z}} \text{ bzw.} \\ \sigma((a_i)_{i \in \mathbb{N}}) &= (a_{i+1})_{i \in \mathbb{N}} \end{aligned}$$

Folgerungen:

- $\Lambda$  enthält eine abzählbare Zahl von periodischen Punkten
- $\Lambda$  enthält eine abzählbare Zahl von asymptotisch periodischen Punkten
- In  $\Lambda$  gibt es dichte Orbits

Smale Horseshoe .

Geometrische Definition von  $f$ :



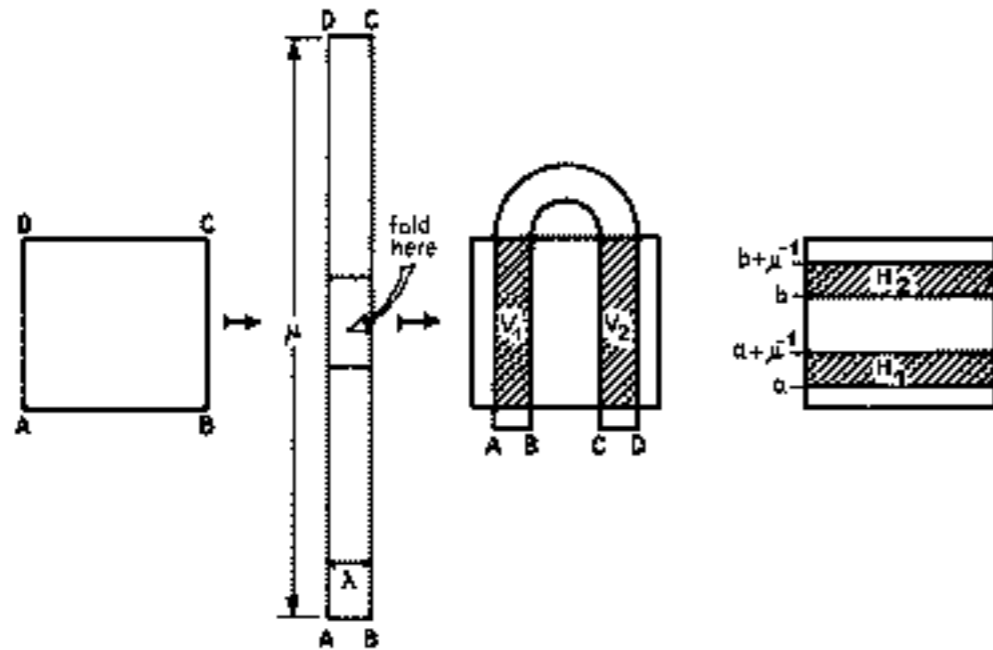
Das Ziel:

- Punkte  $\Lambda$  finden, die in  $S = [0, 1]^2$  bleiben
- Aufteilung von  $\Lambda$  in  $\Delta^i$  finden.
- Konjugation  $h$  vom Shift zum  $f$

Schwierigkeiten:

1. Überlappen die  $\Delta^i$  kann es Punkte geben, die mit mehreren Folgen kodiert werden.
2. Alle Punkte  $\bigcap_{i \in \mathbb{Z}} f^i(\Delta^{\omega_i})$  werden mit der Folge  $\omega = (\omega_i)_{i \in \mathbb{Z}}$  kodiert.

Geometrische Definition von  $f$ :



Wie sieht die Abbildung aus?

$f$  auf  $f(S) \cap S$  linear mit Streckung  $\mu$  in  $y$ -Richtung und Stauchung  $\lambda$  in  $x$ -Richtung.

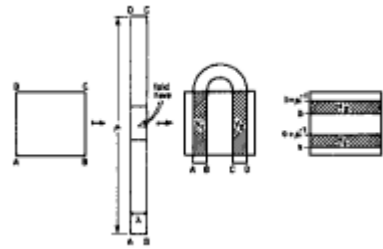
$f(H_1) = V_1$  und  $f(H_2) = V_2$

$V_1$  und  $V_2$  sind Rechtecke der Größe  $\lambda \cdot 1$

$H_1$  und  $H_2$  sind Rechtecke der Größe  $1 \cdot \mu^{-1}$

$Df = \begin{pmatrix} \lambda & 0 \\ 0 & \mu \end{pmatrix}$  auf  $H_1$  und  $Df = \begin{pmatrix} -\lambda & 0 \\ 0 & -\mu \end{pmatrix}$  auf  $H_2$ .

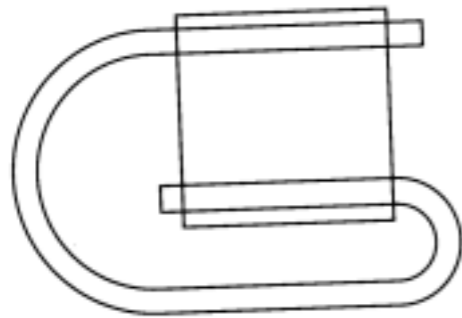
Die Orientierung ist unterschiedlich in  $V_1$  und  $V_2$ .

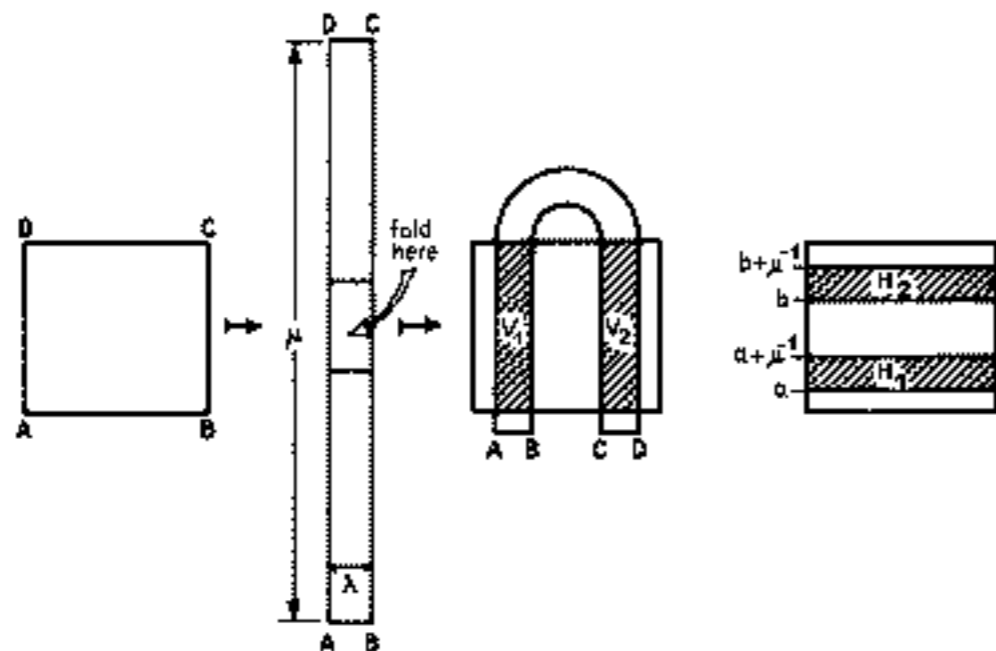


$$Df = \begin{pmatrix} \lambda & 0 \\ 0 & \mu \end{pmatrix} \text{ auf } H_1 \text{ und } Df = \begin{pmatrix} -\lambda & 0 \\ 0 & -\mu \end{pmatrix} \text{ auf } H_2.$$

Die Orientierung ist unterschiedlich in  $V_1$  und  $V_2$ .

Man könnte daher auch einen alternativen Horseshoe betrachten:





$f$  ist nur auf  $S$  definiert.

$\Rightarrow$  Betrachte  $f$  nur auf  $\Lambda = \bigcap_{i \in \mathbb{Z}} f^i(S)$ .

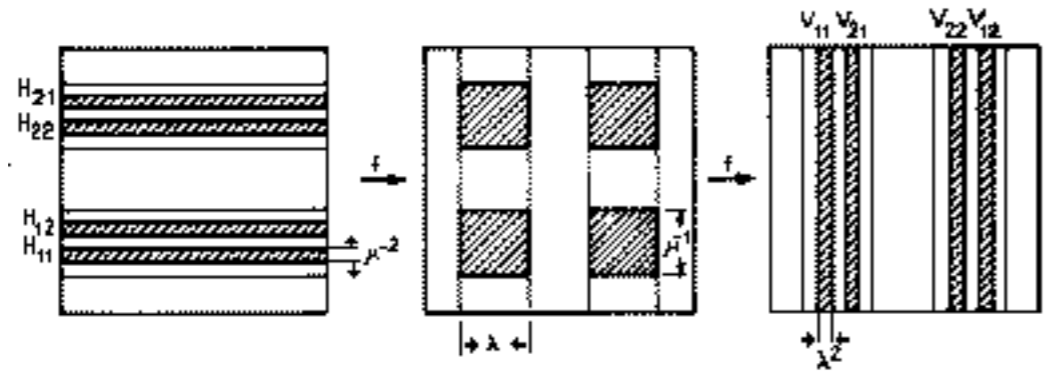
Wie sieht diese Menge aus?

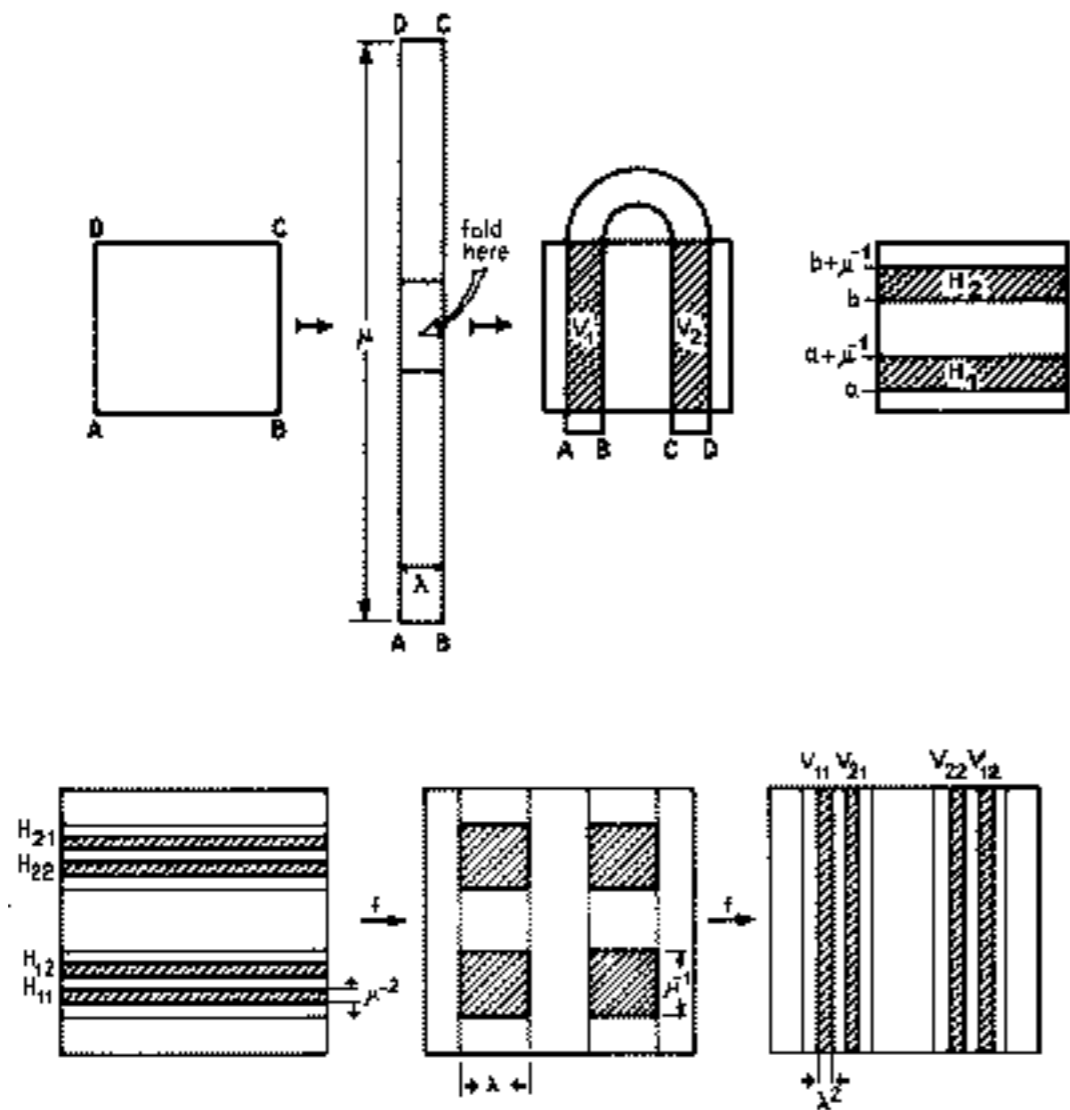
$$H_1 \cup H_2 = S \cap f^{-1}(S)$$

$$V_1 \cup V_2 = S \cap f(S)$$

$$f^{-1}(f(S) \cap S \cap f^{-1}(S)), f(S) \cap S \cap f^{-1}(S) \text{ und } f(f(S) \cap S \cap f^{-1}(S))$$



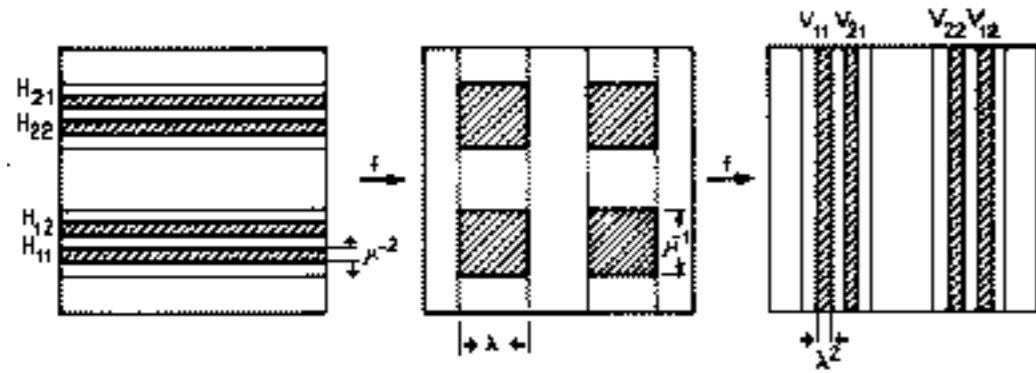




$\bigcap_{i \in \{0, -1, -2, \dots, -n\}} f^i(S)$  besteht aus  $2^n$  horizontalen Streifen der Dicke  $\mu^n$ .

$\bigcap_{i \in \{0, 1, 2, \dots, n\}} f^i(S)$  besteht aus  $2^n$  vertikalen Streifen der Dicke  $\lambda^n$ .

$\Lambda$  ist Cantormenge  $\times$  Cantormenge.



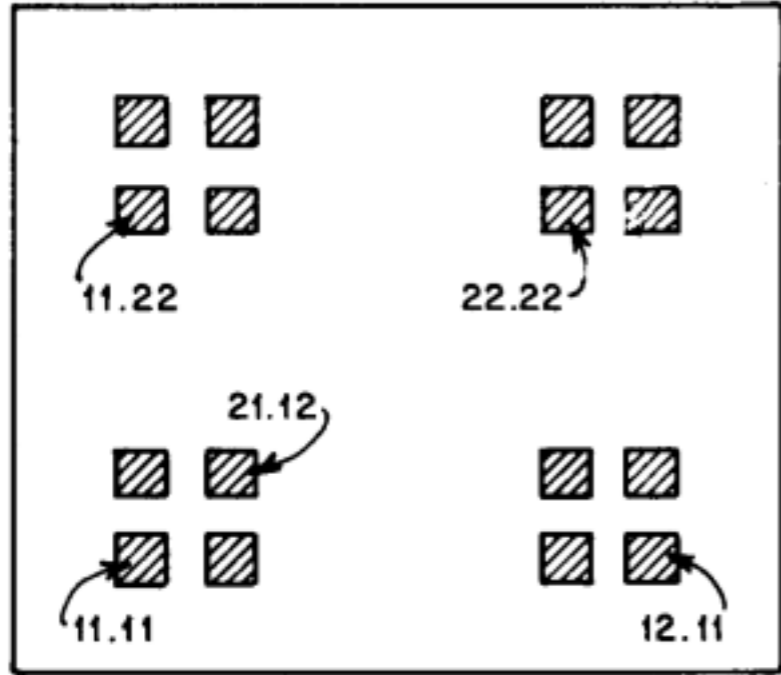
$$H_{1x} \subset H_1, \quad H_{2x} \subset H_2, \quad f(H_{x1}) \subset H_1 \text{ und } f(H_{x2}) \subset H_2.$$

$$V_{x1} \subset f(H_1) = V_1, \quad V_{x2} \subset f(H_2) = V_2, \quad V_{1x} \subset f^2(H_1) \text{ und } V_{2x} \subset f^2(H_2).$$

Wie sieht  $\bigcap_{i \in \{-2, -1, 0, 1, 2\}} f^i(S)$  aus?

Es ist  $H_{a_0 a_1} \cap V_{a_{-2} a_{-1}}$  durch eine Folge  $(a_{-2} a_{-1} \cdot a_0 a_1)$  representiert.

Weiter identifiziere man  $(a_i)_{i \in \mathbb{Z}}$  mit  $x$ , so dass  $f^i(x) \in H_{a_i}$ .



Dann gilt:  
 $f$  auf  $\Lambda$  ist konjugiert zum Shift  $\sigma$  auf  $\Sigma_2$ .

d.h. es gibt einen Homeomorphismus  $h : \Lambda \rightarrow \Sigma_2$  mit  $f = h^{-1}\sigma h$ , wobei  $\Sigma_2 := \{(a_i)_{i \in \mathbb{Z}} \mid a_i \in \{1, 2\}\}$  und  $d(a, b) = \sum_{i \in \mathbb{Z}} \delta_{a_i, b_i} 2^{-|i|}$

Dann gilt:

$f$  auf  $\Lambda$  ist konjugiert zum Shift  $\sigma$  auf  $\Sigma_2$ .

d.h. es gibt einen Homeomorphismus  $h : \Lambda \rightarrow \Sigma_2$  mit  $f = h^{-1}\sigma h$ , wobei  $\Sigma_2 := \{(a_i)_{i \in \mathbb{Z}} \mid a_i \in \{1, 2\}\}$  und  $d(a, b) = \sum_{i \in \mathbb{Z}} \delta_{a_i, b_i} 2^{-|i|}$

Beweis:

Definiere  $h(x) = (a_i)_{i \in \mathbb{Z}}$  mit  $f^i(x) \in H_{a_i}$ .

Dann gilt:

$f$  auf  $\Lambda$  ist konjugiert zum Shift  $\sigma$  auf  $\Sigma_2$ .

d.h. es gibt einen Homeomorphismus  $h : \Lambda \rightarrow \Sigma_2$  mit  $f = h^{-1}\sigma h$ , wobei  $\Sigma_2 := \{(a_i)_{i \in \mathbb{Z}} \mid a_i \in \{1, 2\}\}$  und  $d(a, b) = \sum_{i \in \mathbb{Z}} \delta_{a_i, b_i} 2^{-|i|}$

Beweis:

Definiere  $h(x) = (a_i)_{i \in \mathbb{Z}}$  mit  $f^i(x) \in H_{a_i}$ .

Wegen  $f^{i+1}(x) = f^i(f(x))$  gilt  $h(f(x)) = \sigma(h(x))$ .

Dann gilt:

$f$  auf  $\Lambda$  ist konjugiert zum Shift  $\sigma$  auf  $\Sigma_2$ .

d.h. es gibt einen Homeomorphismus  $h : \Lambda \rightarrow \Sigma_2$  mit  $f = h^{-1}\sigma h$ , wobei  $\Sigma_2 := \{(a_i)_{i \in \mathbb{Z}} \mid a_i \in \{1, 2\}\}$  und  $d(a, b) = \sum_{i \in \mathbb{Z}} \delta_{a_i, b_i} 2^{-|i|}$

Beweis:

Definiere  $h(x) = (a_i)_{i \in \mathbb{Z}}$  mit  $f^i(x) \in H_{a_i}$ .

Wegen  $f^{i+1}(x) = f^i(f(x))$  gilt  $h(f(x)) = \sigma(h(x))$ .

$h$  ist bijektiv, durch  $(a_i)_{i \in \mathbb{N}}$  ist eine eindeutige horizontale Linie gegeben und durch  $(a_{-i})_{i \in \mathbb{N}}$  ist eine eindeutige vertikale Linie gegeben.



Dann gilt:

$f$  auf  $\Lambda$  ist konjugiert zum Shift  $\sigma$  auf  $\Sigma_2$ .

d.h. es gibt einen Homeomorphismus  $h : \Lambda \rightarrow \Sigma_2$  mit  $f = h^{-1}\sigma h$ , wobei  $\Sigma_2 := \{(a_i)_{i \in \mathbb{Z}} \mid a_i \in \{1, 2\}\}$  und  $d(a, b) = \sum_{i \in \mathbb{Z}} \delta_{a_i, b_i} 2^{-|i|}$

Beweis:

Definiere  $h(x) = (a_i)_{i \in \mathbb{Z}}$  mit  $f^i(x) \in H_{a_i}$ .

Wegen  $f^{i+1}(x) = f^i(f(x))$  gilt  $h(f(x)) = \sigma(h(x))$ .

$h$  ist bijektiv, durch  $(a_i)_{i \in \mathbb{N}}$  ist eine eindeutige horizontale Linie gegeben und durch  $(a_{-i})_{i \in \mathbb{N}}$  ist eine eindeutige vertikale Linie gegeben.

$h$  ist stetig, da  $f$  stetig ist.

$h^{-1}$  ist stetig, denn ist eine Folge von  $-m$  bis  $n$  festgelegt, dann liegen alle möglichen Punkte in einem  $\mu^{-(n+1)} \times \lambda^n$  Quadrat.

Dann gilt:

$f$  auf  $\Lambda$  ist konjugiert zum Shift  $\sigma$  auf  $\Sigma_2$ .

d.h. es gibt einen Homeomorphismus  $h : \Lambda \rightarrow \Sigma_2$  mit  $f = h^{-1}\sigma h$ , wobei  $\Sigma_2 := \{(a_i)_{i \in \mathbb{Z}} \mid a_i \in \{1, 2\}\}$  und  $d(a, b) = \sum_{i \in \mathbb{Z}} \delta_{a_i, b_i} 2^{-|i|}$

Beweis:

Definiere  $h(x) = (a_i)_{i \in \mathbb{Z}}$  mit  $f^i(x) \in H_{a_i}$ .

Wegen  $f^{i+1}(x) = f^i(f(x))$  gilt  $h(f(x)) = \sigma(h(x))$ .

$h$  ist bijektiv, durch  $(a_i)_{i \in \mathbb{N}}$  ist eine eindeutige horizontale Linie gegeben und durch  $(a_{-i})_{i \in \mathbb{N}}$  ist eine eindeutige vertikale Linie gegeben.

$h$  ist stetig, da  $f$  stetig ist.

$h^{-1}$  ist stetig, denn ist eine Folge von  $-m$  bis  $n$  festgelegt, dann liegen alle möglichen Punkte in einem  $\mu^{-(n+1)} \times \lambda^n$  Quadrat.

Daher gilt

- $f$  hat  $2^n$  periodische Punkte der Periode  $n$ ,
- es gibt Punkte mit dichtem Orbit,
- $\Lambda$  enthält überabzählbar viele nicht periodische Punkten,

- $\Lambda$  enthält abzählbar viele heterokline und homokline Orbits für vorgegebenen Punkte  $x, y$  gegen die positiv bzw. negativ asymptotisch ist.

Verzicht auf die Linearität

Ändert man  $f$  leicht zu  $\tilde{f}$ , wird  $S \cap \tilde{f}(S) \cap \tilde{f}^2(S) \cap \dots \cap \tilde{f}^n(S)$  immer noch aus  $2^n$  vertikalen Streifen und  $S \cap \tilde{f}^{-1}(S) \cap \tilde{f}^{-2}(S) \cap \dots \cap \tilde{f}^{-n}(S)$  aus  $2^n$  horizontalen Streifen bestehen.

Verzicht auf die Linearität

Ändert man  $f$  leicht zu  $\tilde{f}$ , wird  $S \cap \tilde{f}(S) \cap \tilde{f}^2(S) \cap \dots \cap \tilde{f}^n(S)$  immer noch aus  $2^n$  vertikalen Streifen und  $S \cap \tilde{f}^{-1}(S) \cap \tilde{f}^{-2}(S) \cap \dots \cap \tilde{f}^{-n}(S)$  aus  $2^n$  horizontalen Streifen bestehen.

Zur Beschreibung benötigt man zu erst horizontale und vertikale Streifen.

Vertikale Kurve  $x = v(y)$

$$0 \leq v(y) \leq 1, \quad |v(y_1) - v(y_2)| \leq \mu |y_1 - y_2| \text{ für } 0 \leq y_1 \leq y_2 \leq 1 \text{ und } 0 < \mu < 1$$

Horizontale Kurve  $y = h(x)$

$$0 \leq h(x) \leq 1, \quad |h(x_1) - h(x_2)| \leq \mu |x_1 - x_2| \text{ für } 0 \leq x_1 \leq x_2 \leq 1 \text{ und } 0 < \mu < 1$$

Verzicht auf die Linearität

Ändert man  $f$  leicht zu  $\tilde{f}$ , wird  $S \cap \tilde{f}(S) \cap \tilde{f}^2(S) \cap \dots \cap \tilde{f}^n(S)$  immer noch aus  $2^n$  vertikalen Streifen und  $S \cap \tilde{f}^{-1}(S) \cap \tilde{f}^{-2}(S) \cap \dots \cap \tilde{f}^{-n}(S)$  aus  $2^n$  horizontalen Streifen bestehen.

Zur Beschreibung benötigt man zu erst horizontale und vertikale Streifen.

Vertikale Kurve  $x = v(y)$

$$0 \leq v(y) \leq 1, \quad |v(y_1) - v(y_2)| \leq \mu |y_1 - y_2| \text{ für } 0 \leq y_1 \leq y_2 \leq 1 \text{ und } 0 < \mu < 1$$

Horizontale Kurve  $y = h(x)$

$$0 \leq h(x) \leq 1, \quad |h(x_1) - h(x_2)| \leq \mu |x_1 - x_2| \text{ für } 0 \leq x_1 \leq x_2 \leq 1 \text{ und } 0 < \mu < 1$$

Vertikale Streifen für Kurven  $v_1(y) < v_2(y), y \in [0, 1]$

$$V = \{(x, y) | x \in [v_1(y), v_2(y)]; y \in [0, 1]\}$$

Horizontale Streifen für Kurven  $h_1(x) < h_2(x), x \in [0, 1]$

$$H = \{(x, y) | x \in [0, 1]; y \in [h_1(x), h_2(x)]\}$$

Und deren Dicke

$$d(V) = \max_{y \in [0, 1]} |v_2(y) - v_1(y)|, \quad d(H) = \max_{x \in [0, 1]} |h_2(x) - h_1(x)|$$

Verzicht auf die Linearität

Ändert man  $f$  leicht zu  $\tilde{f}$ , wird  $S \cap \tilde{f}(S) \cap \tilde{f}^2(S) \cap \dots \cap \tilde{f}^n(S)$  immer noch aus  $2^n$  vertikalen Streifen und  $S \cap \tilde{f}^{-1}(S) \cap \tilde{f}^{-2}(S) \cap \dots \cap \tilde{f}^{-n}(S)$  aus  $2^n$  horizontalen Streifen bestehen.

Zur Beschreibung benötigt man zu erst horizontale und vertikale Streifen.

Vertikale Kurve  $x = v(y)$

$$0 \leq v(y) \leq 1, \quad |v(y_1) - v(y_2)| \leq \mu |y_1 - y_2| \text{ für } 0 \leq y_1 \leq y_2 \leq 1 \text{ und } 0 < \mu < 1$$

Horizontale Kurve  $y = h(x)$

$$0 \leq h(x) \leq 1, \quad |h(x_1) - h(x_2)| \leq \mu |x_1 - x_2| \text{ für } 0 \leq x_1 \leq x_2 \leq 1 \text{ und } 0 < \mu < 1$$

Vertikale Streifen für Kurven  $v_1(y) < v_2(y), y \in [0, 1]$

$$V = \{(x, y) | x \in [v_1(y), v_2(y)]; y \in [0, 1]\}$$

Horizontale Streifen für Kurven  $h_1(x) < h_2(x), x \in [0, 1]$

$$H = \{(x, y) | x \in [0, 1]; y \in [h_1(x), h_2(x)]\}$$

Und deren Dicke

$$d(V) = \max_{y \in [0, 1]} |v_2(y) - v_1(y)|, \quad d(H) = \max_{x \in [0, 1]} |h_2(x) - h_1(x)|$$

Für  $(V_i)_{i \in \mathbb{N}}$  mit  $V_i \supset V_{i+1}$  und  $\lim_{n \rightarrow \infty} d(V_i) = 0$  ist  $\bigcap_{i \in \mathbb{N}} V_i$  eine vertikale Kurve. Eine vertikale schneidet eine horizontale Kurve in genau einem Punkt.

Allgemeiner Horseshoe  $f : S \rightarrow \mathbb{R}^2$

H1  $\mathcal{S} = \{1, 2, \dots, N\}$ ,  $H_i, V_i$  für  $i \in \mathcal{S}$  sind disjunkte horizontale bzw. vertikale Streifen und  $f(H_i) = V_i$ .

H2  $f$  kontrahiert vertikale Streifen,  $f^{-1}$  kontrahiert horizontale Streifen. D.h. es gibt  $\nu \in (0, 1)$  mit  $V'_i \subset V_i$  folgt  $f(V'_i) \cap V_j$  ist ein horizontaler Streifen und

$$d(f(V'_i) \cap V_j) \leq \nu d(V'_i) d(V_j) / d(V_i)$$

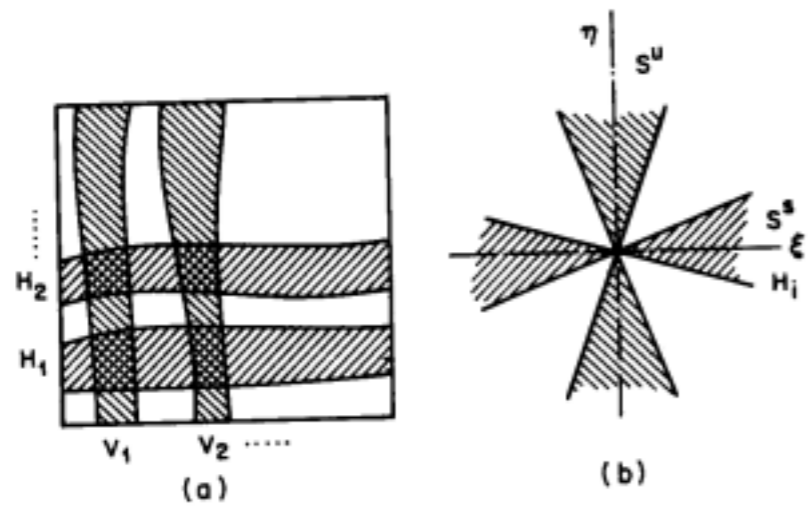
und  $H'_i \subset H_i$  folgt  $f^{-1}(H'_i) \cap H_j$  ist ein horizontaler Streifen und

$$d(f^{-1}(H'_i) \cap H_j) \leq \nu d(H'_i) d(H_j) / d(H_i)$$

Man kann H2 ersetzen, denn H1 und H3 mit  $0 < \mu < \frac{1}{2}$  implizieren H2 mit  $\nu = \mu / (1 - \mu)$

H3 Es gibt Sektorbündel  $S^u = \{(\xi, \eta) \mid |\xi| < \mu |\eta|\}$  definiert auf  $\bigcup_{i \in \mathcal{S}} V_i$  und  $S^s = \{(\xi, \eta) \mid |\eta| < \mu |\xi|\}$  definiert auf  $\bigcup_{i \in \mathcal{S}} H_i$  für  $0 < \mu < 1$ , so dass  $Df(S^u) \subset S^u$  und  $Df^{-1}S^s \subset S^s$ . Und außerdem mit  $Df(\xi_0, \eta_0) = (\xi_1, \eta_1)$  und  $Df^{-1}(\xi_0, \eta_0) = (\xi_{-1}, \eta_{-1})$  gilt  $|\eta_1| \geq (1/\mu) |\eta_0|$  und  $|\eta_{-1}| \geq (1/\mu) |\xi_0|$ .





Wieder ist  $f$  auf  $\Lambda$  konjugiert zum Shift.

Automorphismen auf dem Torus    Das Ziel:

- Punkte finden, die in  $\mathbb{T}^2 = \mathbb{R}^2/\mathbb{Z}^2$  bleiben
- Aufteilung von  $\mathbb{T}^2$  in  $\Delta^i$  finden.
- Konjugation  $h$  vom Shift zum  $f$

Schwierigkeiten:

1. Überlappen die  $\Delta^i$  kann es Punkte geben, die mit mehreren Folgen kodiert werden.
2. Alle Punkte  $\bigcap_{i \in \mathbb{Z}} f^i(\Delta^{\omega_i})$  werden mit der Folge  $\omega = (\omega_i)_{i \in \mathbb{Z}}$  kodiert.

Beim Horseshoe waren die  $\Delta^i = H_i$  disjunkt.

Automorphismen auf dem Torus    Das Ziel:

- Punkte finden, die in  $\mathbb{T}^2 = \mathbb{R}^2/\mathbb{Z}^2$  bleiben
- Aufteilung von  $\mathbb{T}^2$  in  $\Delta^i$  finden.
- Konjugation  $h$  vom Shift zum  $f$

Schwierigkeiten:

1. Überlappen die  $\Delta^i$  kann es Punkte geben, die mit mehreren Folgen kodiert werden.
2. Alle Punkte  $\bigcap_{i \in \mathbb{Z}} f^i(\Delta^{\omega_i})$  werden mit der Folge  $\omega = (\omega_i)_{i \in \mathbb{Z}}$  kodiert.

Beim Horseshoe waren die  $\Delta^i = H_i$  disjunkt.

Auf dem Torus sind alle Orbits beschränkt bzw. bleiben in  $\mathbb{T}^2$ , daher muss ganz  $\mathbb{T}^2$  aufgeteilt werden. Also sind die  $\Delta^i$  nicht disjunkt.

Die  $\Delta^i$  sind abgeschlossen, für zusammenhängende, kompakte Mannigfaltigkeiten ist, ergibt sich diese Problem also immer.

Symbolische Dynamik am Beispiel  $f : \mathbb{T}^2 \rightarrow \mathbb{T}^2$

$$f(x, y) = (2x + y, x + y) = \begin{pmatrix} 2 & 1 \\ 1 & 1 \end{pmatrix} \begin{pmatrix} x \\ y \end{pmatrix} \pmod{1}$$

$\begin{pmatrix} 2 & 1 \\ 1 & 1 \end{pmatrix}$  hat Eigenwerte  $\lambda_1 = \frac{3+\sqrt{5}}{2}$  und  $\lambda_2 = \frac{3-\sqrt{5}}{2}$ .

Eigenvektor zu  $\lambda_1 = \frac{3+\sqrt{5}}{2}$  ist  $\begin{pmatrix} \frac{1+\sqrt{5}}{2} \\ 1 \end{pmatrix}$ .

Eigenvektor zu  $\lambda_2 = \frac{3-\sqrt{5}}{2}$  ist  $\begin{pmatrix} \frac{1-\sqrt{5}}{2} \\ 1 \end{pmatrix}$ .

Symbolische Dynamik am Beispiel  $f : T \rightarrow T$

$$f(x, y) = (2x + y, x + y) = \begin{pmatrix} 2 & 1 \\ 1 & 1 \end{pmatrix} \begin{pmatrix} x \\ y \end{pmatrix} \pmod{1}$$

$\begin{pmatrix} 2 & 1 \\ 1 & 1 \end{pmatrix}$  hat Eigenwerte  $\lambda_1 = \frac{3+\sqrt{5}}{2}$  und  $\lambda_2 = \frac{3-\sqrt{5}}{2}$ .

Eigenvektor zu  $\lambda_1 = \frac{3+\sqrt{5}}{2}$  ist  $\begin{pmatrix} \frac{1+\sqrt{5}}{2} \\ 1 \end{pmatrix}$ .

Eigenvektor zu  $\lambda_2 = \frac{3-\sqrt{5}}{2}$  ist  $\begin{pmatrix} \frac{1-\sqrt{5}}{2} \\ 1 \end{pmatrix}$ .

Die Abbildung hat genau einen Fixpunkt bei  $(0, 0)$ .

$W^u((0, 0)) = \{(x, y) \pmod{1} \mid x = \frac{1+\sqrt{5}}{2}y\}$  und  $W^s((0, 0)) = \{(x, y) \pmod{1} \mid x = \frac{1-\sqrt{5}}{2}y\}$

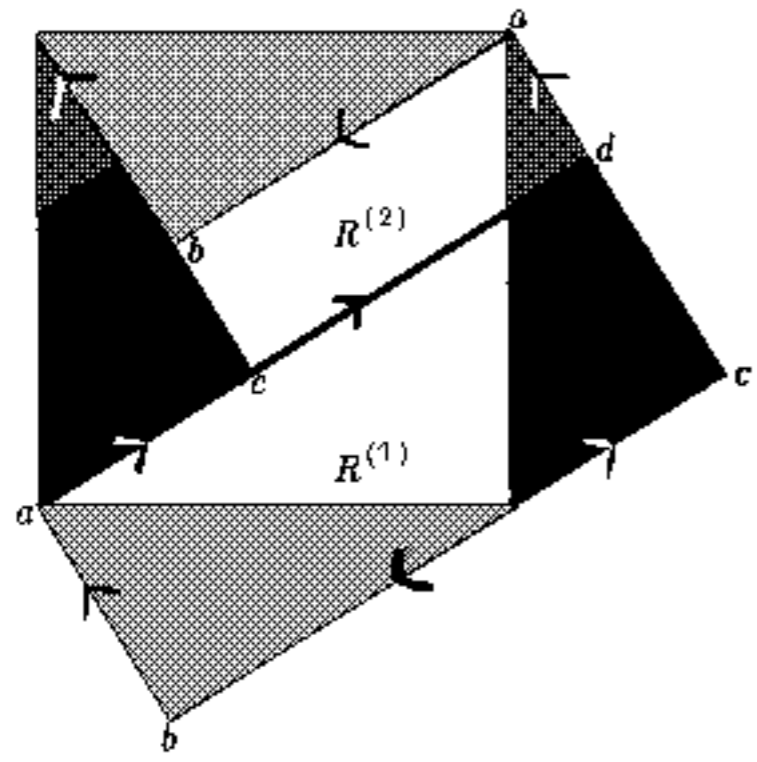
.

$(x, y) \in W^s((0, 0)) \Rightarrow \lim_{n \rightarrow \infty} f^n(x, y) = (0, 0)$ .

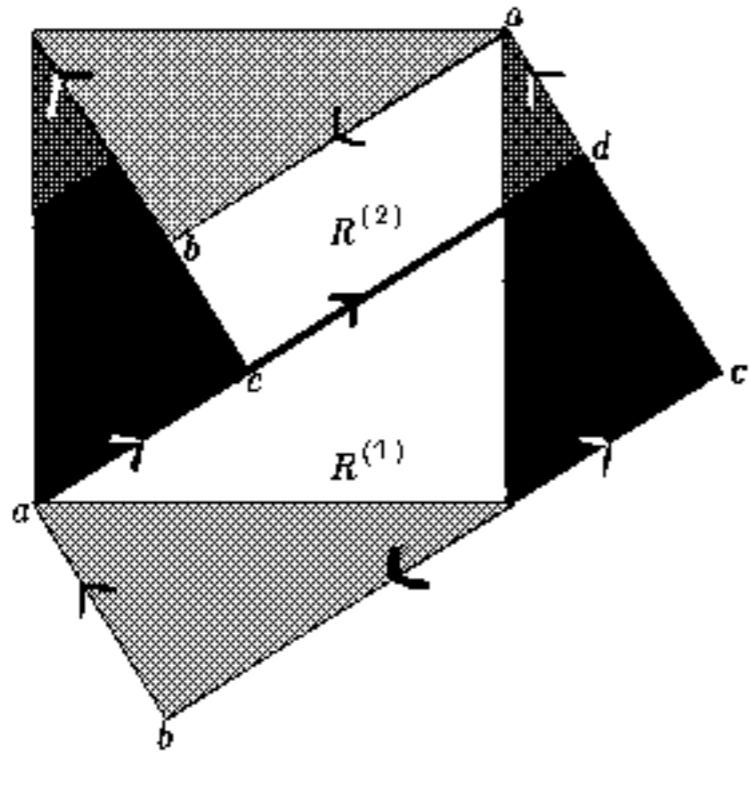
Der Abstand entlang  $W^s((0, 0))$  geht exponentiell mit  $\lambda_2^n$  gegen Null.

$(x, y) \in W^u((0, 0)) \Rightarrow \lim_{n \rightarrow \infty} f^{-n}(x, y) = (0, 0)$ .

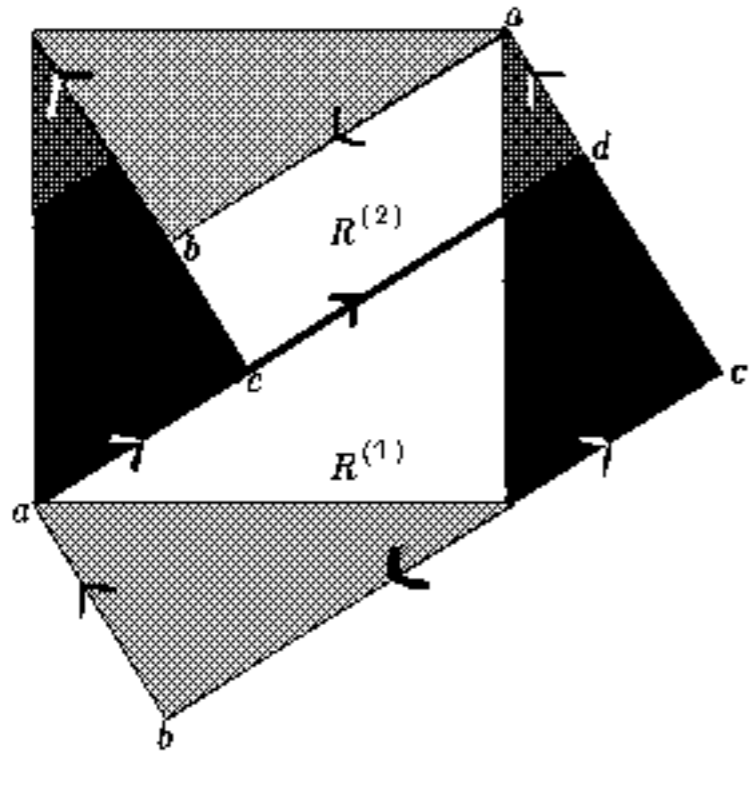
Der Abstand entlang  $W^u((0, 0))$  geht bei Rückwärtsiteration exponentiell mit  $\lambda_1^{-n}$  gegen Null.



1

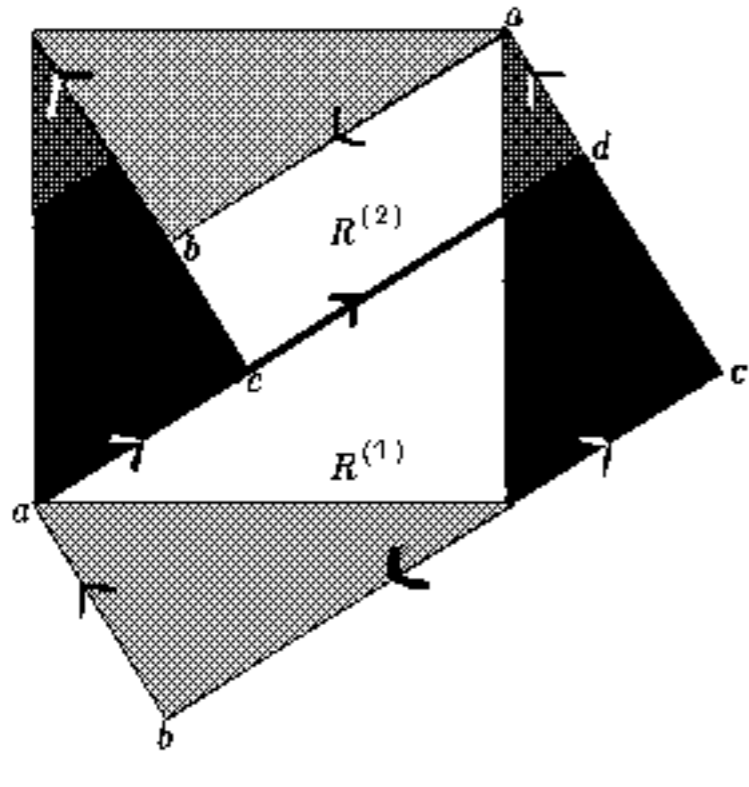


Horizontale und vertikale Richtung waren genau die Eigenrichtungen.  
 Daher will man die Rechtecke  $\Delta^i$  mit Seiten parallel zu den Eigenvektoren wählen.



Horizontale und vertikale Richtung waren genau die Eigenrichtungen.  
 Daher will man die Rechtecke  $\Delta^i$  mit Seiten parallel zu den Eigenvektoren wählen.  
 Verlängert man die Eigenvektoren von  $(0, 0)$  bis man die Schnittpunkte  $b$ ,  $c$  und  $d$  erhält,  
 so erhält man das obige Bild.





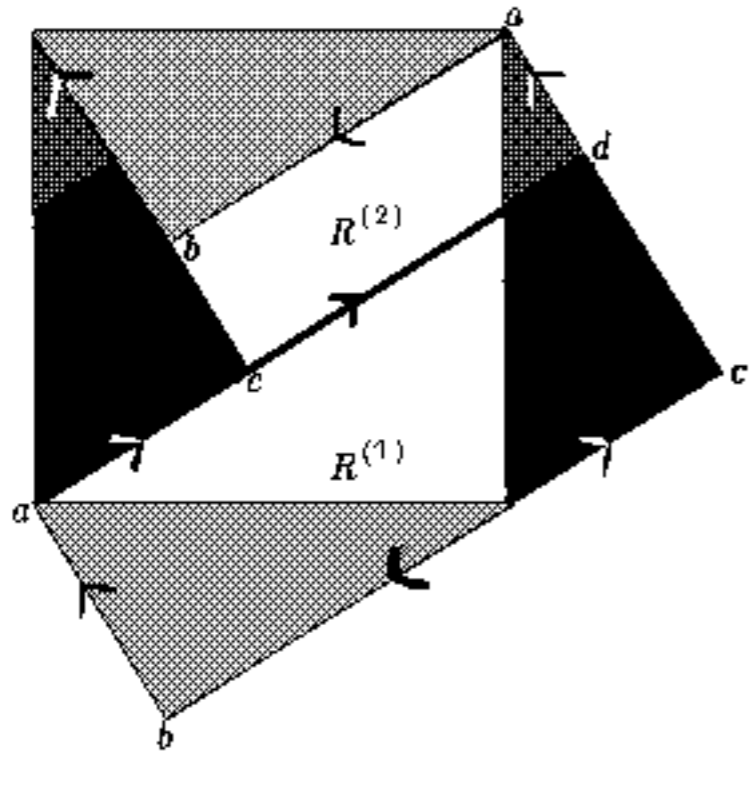
Horizontale und vertikale Richtung waren genau die Eigenrichtungen.  
 Daher will man die Rechtecke  $\Delta^i$  mit Seiten parallel zu den Eigenvektoren wählen.  
 Verlängert man die Eigenvektoren von  $(0, 0)$  bis man die Schnittpunkte  $b$ ,  $c$  und  $d$  erhält,  
 so erhält man das obige Bild.

Man definiert die Rechtecke  $R^{(1)}$  und  $R^{(2)}$ .

Auf diesen könnte man dann symbolische Dynamik betreiben.

Aber: Die symbolische Dynamik wäre dann exakt die gleich wie beim Horseshoe.

Woran liegt das?



Horizontale und vertikale Richtung waren genau die Eigenrichtungen.  
 Daher will man die Rechtecke  $\Delta^i$  mit Seiten parallel zu den Eigenvektoren wählen.  
 Verlängert man die Eigenvektoren von  $(0, 0)$  bis man die Schnittpunkte  $b$ ,  $c$  und  $d$  erhält,  
 so erhält man das obige Bild.

Man definiert die Rechtecke  $R^{(1)}$  und  $R^{(2)}$ .

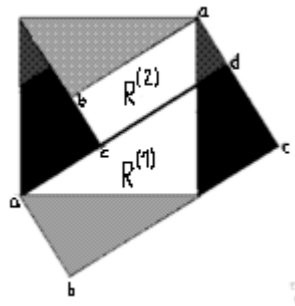
Auf diesen könnte man dann symbolische Dynamik betreiben.

Aber: Die symbolische Dynamik wäre dann exakt die gleich wie beim Horseshoe.

Woran liegt das?

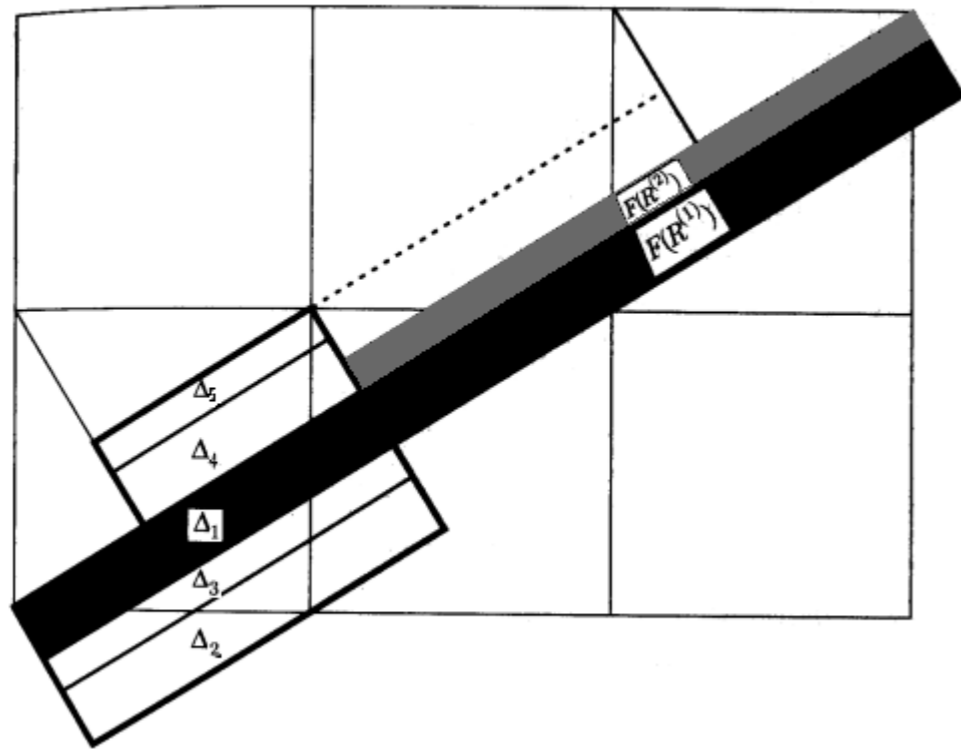
Im Gegensatz zum Horseshoe wird man hier keinen Homeomorphismus  $h$  finden.

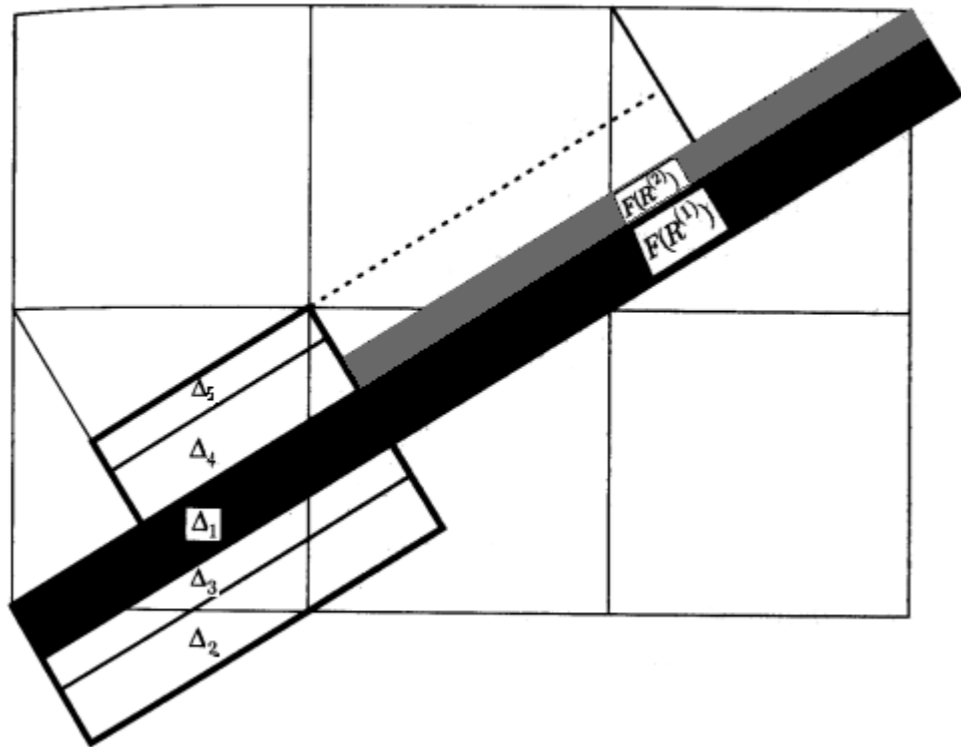
Z.B. liegen alle Iterationen von  $b$  sowohl in  $R^{(1)}$  als auch in  $R^{(2)}$ .  
Also muss man andere Gebiete wählen.



Man wählt daher

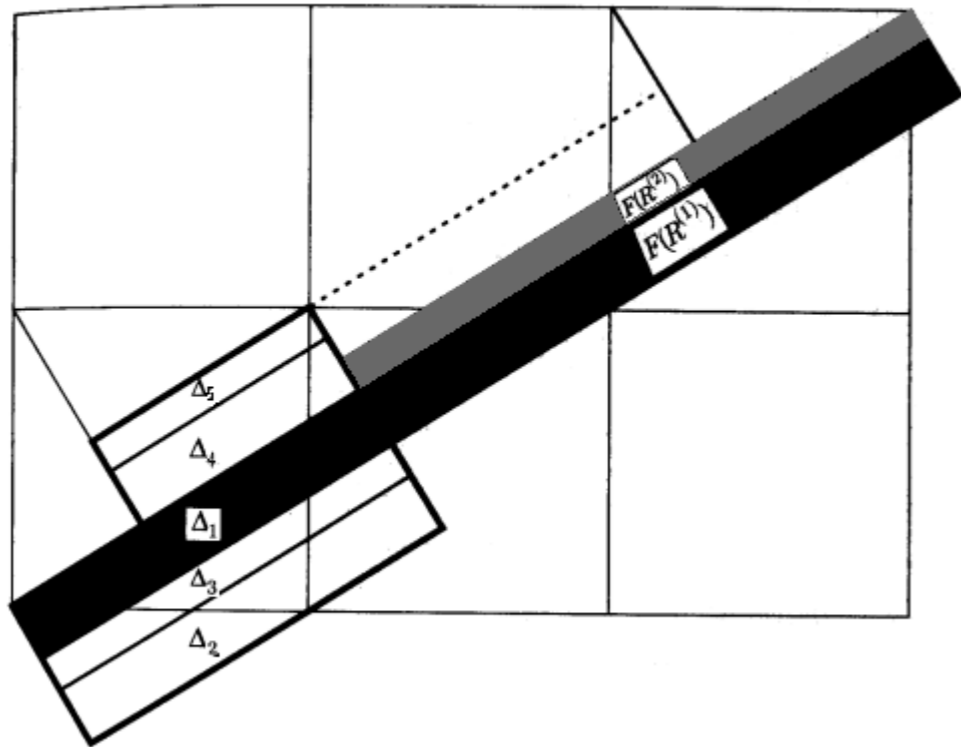
$$\Delta^1 \subset F(R^{(1)}) \cap R^{(1)} \quad \Delta^2 \subset F(R^{(1)}) \cap R^{(1)} \quad \Delta^3 = F(R^{(2)}) \cap R^{(1)} \quad \Delta^4 = F(R^{(1)}) \cap R^{(1)}$$





$f$  kontrahiert in horizontaler Richtung und  $f^{-1}$  kontrahiert in vertikaler Richtung. Daher besteht  $\bigcap_{i \in \mathbb{Z}} f^{-i}(\Delta^{a_i})$  für eine Folge  $(a_i)_{i \in \mathbb{Z}}$ ,  $a_i \in \{1, 2, 3, 4, 5\}$  aus maximal einem Punkt.

Für eine Folge  $(a_i)_{i \in \mathbb{Z}}$ ,  $a_i \in \{1, 2, 3, 4, 5\}$ , bei der  $f(\Delta^{a_i}) \cap \Delta^{a_{i+1}}$  innere Punkte enthält, ist  $\bigcap_{i \in \mathbb{Z}} f^{-i}(\Delta^{a_i}) \neq \emptyset$ .



$f$  kontrahiert in horizontaler Richtung und  $f^{-1}$  kontrahiert in vertikaler Richtung. Daher besteht  $\bigcap_{i \in \mathbb{Z}} f^{-i}(\Delta^{a_i})$  für eine Folge  $(a_i)_{i \in \mathbb{Z}}, a_i \in \{1, 2, 3, 4, 5\}$  aus maximal einem Punkt.

Für eine Folge  $(a_i)_{i \in \mathbb{Z}}, a_i \in \{1, 2, 3, 4, 5\}$ , bei der  $f(\Delta^{a_i}) \cap \Delta^{a_{i+1}}$  innere Punkte enthält, ist  $\bigcap_{i \in \mathbb{Z}} f^{-i}(\Delta^{a_i}) \neq \emptyset$ .

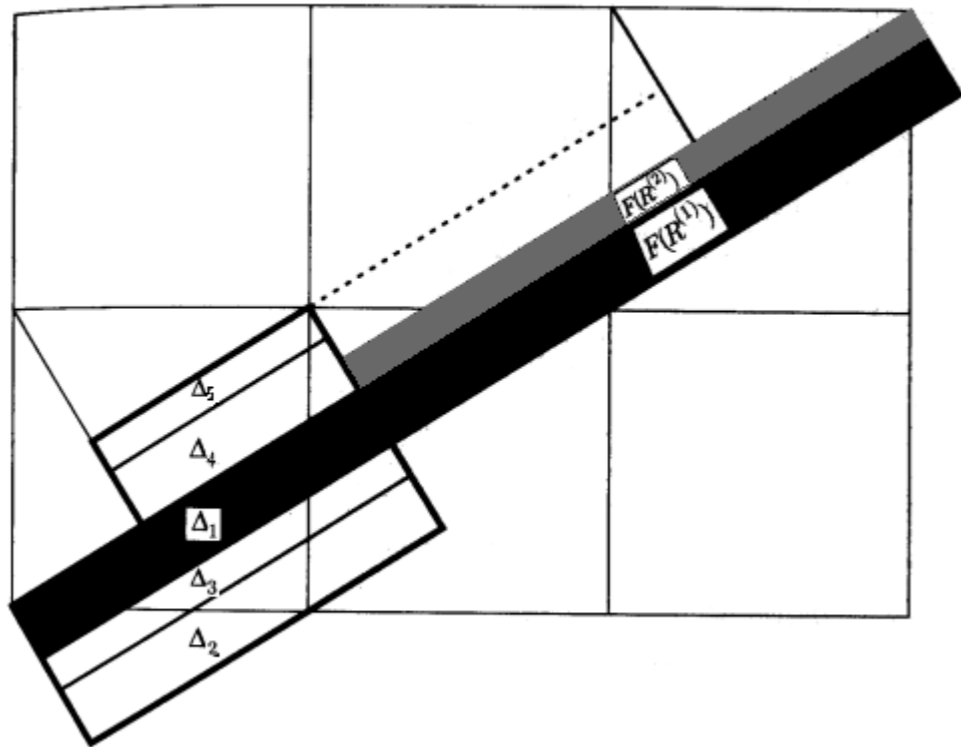
Man definiert dann die Übergangsmatrix  $A$  über  $A_{ij} = 1$  genau für  $f(\Delta^i) \cap \Delta^j$  enthält innere Punkte.

Hier ist dies

$$A = \begin{pmatrix} 1 & 1 & 0 & 1 & 0 \\ 1 & 1 & 0 & 1 & 0 \\ 1 & 1 & 0 & 1 & 0 \\ 0 & 0 & 1 & 0 & 1 \\ 0 & 0 & 1 & 0 & 1 \end{pmatrix}$$

Man definiert dann einen Teilmenge  $\Sigma_A$  von  $\Sigma$  für eine  $n \times n$ -Matrix als

$$\Sigma_A = \{(a_i)_{i \in \mathbb{Z}} \mid a_i \in \{1, 2, \dots, n\} \text{ und } A_{a_i, a_{i+1}} = 1\}$$



$f$  kontrahiert in horizontaler Richtung und  $f^{-1}$  kontrahiert in vertikaler Richtung. Daher besteht  $\bigcap_{i \in \mathbb{Z}} f^{-i}(\Delta^{a_i})$  für eine Folge  $(a_i)_{i \in \mathbb{Z}}, a_i \in \{1, 2, 3, 4, 5\}$  aus maximal einem Punkt.

Für eine Folge  $(a_i)_{i \in \mathbb{Z}}, a_i \in \{1, 2, 3, 4, 5\}$ , bei der  $f(\Delta^{a_i}) \cap \Delta^{a_{i+1}}$  innere Punkte enthält, ist  $\bigcap_{i \in \mathbb{Z}} f^{-i}(\Delta^{a_i}) \neq \emptyset$ .

Man definiert dann die Übergangsmatrix  $A$  über  $A_{ij} = 1$  genau für  $f(\Delta^i) \cap \Delta^j$  enthält innere Punkte.



Hier ist dies

$$A = \begin{pmatrix} 1 & 1 & 0 & 1 & 0 \\ 1 & 1 & 0 & 1 & 0 \\ 1 & 1 & 0 & 1 & 0 \\ 0 & 0 & 1 & 0 & 1 \\ 0 & 0 & 1 & 0 & 1 \end{pmatrix}$$

Man definiert dann einen Teilmenge  $\Sigma_A$  von  $\Sigma$  für eine  $n \times n$ -Matrix als

$$\Sigma_A = \{(a_i)_{i \in \mathbb{Z}} \mid a_i \in \{1, 2, \dots, n\} \text{ und } A_{a_i, a_{i+1}} = 1\}$$

Wie beschrieben besteht  $\bigcap_{i \in \mathbb{Z}} f^{-i}(\Delta^{a_i})$  aus einem Punkt. Daher existiert eine Semikonjugation  $h : \Sigma_A \rightarrow \mathbb{T}^2 : (a_i)_{i \in \mathbb{Z}} \mapsto \bigcap_{i \in \mathbb{Z}} f^{-i}(\Delta^{a_i})$  mit  $f \circ h = h \circ \sigma$ .

Um die Dynamik zu verstehen, muss man feststellen, welche Folgen auf identische Punkte abgebildet werden.

$$A = \begin{pmatrix} 1 & 1 & 0 & 1 & 0 \\ 1 & 1 & 0 & 1 & 0 \\ 1 & 1 & 0 & 1 & 0 \\ 0 & 0 & 1 & 0 & 1 \\ 0 & 0 & 1 & 0 & 1 \end{pmatrix}$$

Wie beschrieben besteht  $\bigcap_{i \in \mathbb{Z}} f^{-i}(\Delta^{a_i})$  aus einem Punkt. Daher existiert eine Semikonjugation  $h : \Sigma_A \rightarrow \mathbb{T}^2 : (a_i)_{i \in \mathbb{Z}} \mapsto \bigcap_{i \in \mathbb{Z}} f^{-i}(\Delta^{a_i})$  mit  $f \circ h = h \circ \sigma$ .

Um die Dynamik zu verstehen, muss man feststellen, welche Folgen auf identische Punkte abgebildet werden.

$\Sigma_A$  hat 3 Fixpunkte (...1111...), (...2222...) und (...5555...).  $f$  hat jedoch nur einen Fixpunkt

$$A = \begin{pmatrix} 1 & 1 & 0 & 1 & 0 \\ 1 & 1 & 0 & 1 & 0 \\ 1 & 1 & 0 & 1 & 0 \\ 0 & 0 & 1 & 0 & 1 \\ 0 & 0 & 1 & 0 & 1 \end{pmatrix}$$

Wie beschrieben besteht  $\bigcap_{i \in \mathbb{Z}} f^{-i}(\Delta^{a_i})$  aus einem Punkt. Daher existiert eine Semikonjugation  $h : \Sigma_A \rightarrow \mathbb{T}^2 : (a_i)_{i \in \mathbb{Z}} \mapsto \bigcap_{i \in \mathbb{Z}} f^{-i}(\Delta^{a_i})$  mit  $f \circ h = h \circ \sigma$ .

Um die Dynamik zu verstehen, muss man feststellen, welche Folgen auf identische Punkte abgebildet werden.

$\Sigma_A$  hat 3 Fixpunkte (...1111...), (...2222...) und (...5555...).  $f$  hat jedoch nur einen Fixpunkt.

In  $\Sigma_A$  ist die Zahl der periodischen Punkt der Periode  $n$  gegeben durch  $\text{tr}A^n = \lambda_1^n + \lambda_2^n + 0^n + 0^n + 0^n$ .  $f$  hat aber nur  $P_n(f) = \lambda_1^n + \lambda_2^n - 2$  Punkte der Periode  $n$ .  
 $(P_n(f) = |\det(f^n - \mathbb{1})| = (\lambda_1^n - 1)(\lambda_2^n - 1))$ .

Genau die Punkte  $x \in \mathbb{T}^2$  haben ein eindeutiges Urbild in  $\Sigma_A$ , deren Orbit nie auf dem Rand von  $R^{(1)}$  oder  $R^{(2)}$  liegt. Denn dies sind genau die Punkte, deren Orbit nie auf einem Rand einer der  $\Delta^i$  liegt.

Daher betrachtet man die Abbildung nicht auf ganz  $\Sigma_A$ , sondern nimmt Folgen heraus,

- deren rechtes Ende der Folge konstant 1 oder konstant 5 ist. (...1111), (...555)
- deren linkes Ende entweder nur aus 5en besteht oder aus 1en und 2en.

$$A = \begin{pmatrix} 1 & 1 & 0 & 1 & 0 \\ 1 & 1 & 0 & 1 & 0 \\ 1 & 1 & 0 & 1 & 0 \\ 0 & 0 & 1 & 0 & 1 \\ 0 & 0 & 1 & 0 & 1 \end{pmatrix}$$

Wie beschrieben besteht  $\bigcap_{i \in \mathbb{Z}} f^{-i}(\Delta^{a_i})$  aus einem Punkt. Daher existiert eine Semikonjugation  $h : \Sigma_A \rightarrow \mathbb{T}^2 : (a_i)_{i \in \mathbb{Z}} \mapsto \bigcap_{i \in \mathbb{Z}} f^{-i}(\Delta^{a_i})$  mit  $f \circ h = h \circ \sigma$ .

Um die Dynamik zu verstehen, muss man feststellen, welche Folgen auf identische Punkte abgebildet werden.

$\Sigma_A$  hat 3 Fixpunkte (...1111...), (...2222...) und (...5555...).  $f$  hat jedoch nur einen Fixpunkt.

In  $\Sigma_A$  ist die Zahl der periodischen Punkt der Periode  $n$  gegeben durch  $\text{tr}A^n = \lambda_1^n + \lambda_2^n + 0^n + 0^n + 0^n$ .  $f$  hat aber nur  $P_n(f) = \lambda_1^n + \lambda_2^n - 2$  Punkte der Periode  $n$ .  
 $(P_n(f) = |\det(f^n - \mathbb{1})| = (\lambda_1^n - 1)(\lambda_2^n - 1))$ .

Genau die Punkte  $x \in \mathbb{T}^2$  haben ein eindeutiges Urbild in  $\Sigma_A$ , deren Orbit nie auf dem Rand von  $R^{(1)}$  oder  $R^{(2)}$  liegt. Denn dies sind genau die Punkte, deren Orbit nie auf einem Rand einer der  $\Delta^i$  liegt.

Daher betrachtet man die Abbildung nicht auf ganz  $\Sigma_A$ , sondern nimmt Folgen heraus,

- deren rechtes Ende der Folge konstant 1 oder konstant 5 ist. (...1111), (...555)
- deren linkes Ende entweder nur aus 5en besteht oder aus 2en und 1en.

Damit ergibt sich der Satz:

Die Semikonjugation zwischen  $\sigma$  und  $f$  ist bijektiv für alle periodischen Punkte außer den Fixpunkten. Die Anzahl der Urbilder jedes Punktes, der nicht negativ asymptotisch zu einem der Fixpunkte ist, ist beschränkt.

**Definition von Markovpartitionen**

$\Lambda$  sei eine maximale, invariante, unzerlegbare Menge für eine Funktion  $f : \Lambda \rightarrow \Lambda$ , wobei *unzerlegbar* bedeutet, dass es zu jedem  $\epsilon$  und jedes Paar  $x, y \in \Lambda$  eine  $\epsilon$ -Kette von  $x$  zu  $y$  gibt. Also gibt es  $x = x_0, x_1, x_2, \dots, x_n = y$  mit  $|f(x_i) - x_{i+1}| \leq \epsilon$ .

**Definition von Markovpartitionen**

$\Lambda$  sei eine maximale, invariante, unzerlegbare Menge für eine Funktion  $f : \Lambda \rightarrow \Lambda$ , wobei *unzerlegbar* bedeutet, dass es zu jedem  $\epsilon$  und jedes Paar  $x, y \in \Lambda$  eine  $\epsilon$ -Kette von  $x$  zu  $y$  gibt. Also gibt es  $x = x_0, x_1, x_2, \dots, x_n = y$  mit  $|f(x_i) - x_{i+1}| \leq \epsilon$ .

Unstabile Mannigfaltigkeit  $W_\epsilon^u(x)$  bzw. stabile Mannigfaltigkeit  $W_\epsilon^s(x)$  ist definiert für kompakte, invariante  $\Lambda$ , auf denen  $f : \mathbb{R}^n \rightarrow \mathbb{R}^n$  ein  $C^r$ -Diffeomorphismus ist und die eine hyperbolische Struktur  $E_\Lambda^s \oplus E_\Lambda^u$  haben.

Und zwar so, dass  $y \in W_\epsilon^s(x) \Leftrightarrow \|f^n(x), f^n(y)\| \geq \epsilon$  und

$y \in W_\epsilon^u(x) \Leftrightarrow \|f^n(x), f^n(y)\| \leq \epsilon$ .

Und  $W_\epsilon^s(x), W_\epsilon^u(x)$  zusammenhängend mit  $x \in W_\epsilon^s(x)$  und  $x \in W_\epsilon^u(x)$ .

Daraus ergibt sich sofort exponentielle Annäherung.



**Definition von Markovpartitionen**

$\Lambda$  sei eine maximale, invariante, unzerlegbare Menge für eine Funktion  $f : \Lambda \rightarrow \Lambda$ , wobei *unzerlegbar* bedeutet, dass es zu jedem  $\epsilon$  und jedes Paar  $x, y \in \Lambda$  eine  $\epsilon$ -Kette von  $x$  zu  $y$  gibt. Also gibt es  $x = x_0, x_1, x_2, \dots, x_n = y$  mit  $|f(x_i) - x_{i+1}| \leq \epsilon$ .

Unstabile Mannigfaltigkeit  $W_\epsilon^u(x)$  bzw. stabile Mannigfaltigkeit  $W_\epsilon^s(x)$  ist definiert für kompakte, invariante  $\Lambda$ , auf denen  $f : \mathbb{R}^n \rightarrow \mathbb{R}^n$  ein  $C^r$ -Diffeomorphismus ist und die eine hyperbolische Struktur  $E_\Lambda^s \oplus E_\Lambda^u$  haben.

Und zwar so, dass  $y \in W_\epsilon^s(x) \Leftrightarrow \|f^n(x), f^n(y)\| \geq \epsilon$  und

$y \in W_\epsilon^u(x) \Leftrightarrow \|f^n(x), f^n(y)\| \leq \epsilon$ .

Und  $W_\epsilon^s(x), W_\epsilon^u(x)$  zusammenhängend mit  $x \in W_\epsilon^s(x)$  und  $x \in W_\epsilon^u(x)$ .

Daraus ergibt sich sofort exponentielle Annäherung.

Ein *Rechteck*  $R$  für  $\Lambda$  ist eine abgeschlossene Teilmenge von  $\Lambda$  mit der Eigenschaft:

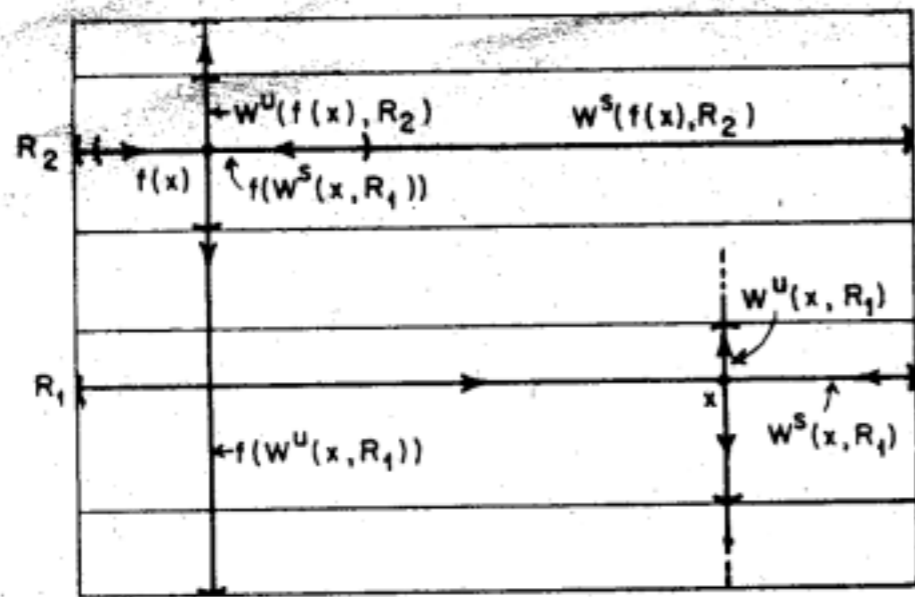
$$x, y \in R \Rightarrow W_\epsilon^s(x) \cap W_\epsilon^u(y) \in R \text{ und ist genau ein Punkt.}$$

Das stable-manifold-theorem sagt, dass es unter diesen Voraussetzungen  $\delta, \epsilon > 0$  gibt mit  $\|x - y\| < \delta \Rightarrow W_\epsilon^s(x) \cap W_\epsilon^u(y)$  ist genau ein Punkt.



Markovpartition für  $\Lambda$  ist eine endliche Menge von Rechtecken  $\{R_1, \dots, R_m\} = \mathcal{R}$  mit

1.  $\Lambda = \bigcup_{i=1}^m R_i$
2.  $\text{int}R_i \cap \text{int} R_j = \emptyset$  für  $i \neq j$
3.  $(f(W_\epsilon^u(x) \cap R_i) \supset (W_\epsilon^u(f(x)) \cap R_j$  und  $(f(W_\epsilon^s(x) \cap R_i) \subset (W_\epsilon^s(f(x)) \cap R_j$  wann immer  $x \in \text{int} R_i$  und  $f(x) \in \text{int} R_j$ .



Kompakte, maximale, unzerlegbare, hyperbolische, invariante Mengen haben Markovpartitionen.

*Smale-Birkhoff Homoclinic Theorem*

Sei  $f : \mathbb{R}^n \rightarrow \mathbb{R}^n$  ein Diffeomorphismus,  $p$  hyperbolischer Fixpunkt,  $q \neq p$  ein transversaler Schnittpunkt zwischen  $W^u(p)$  und  $W^s(p)$ . Dann hat  $f$  eine hyperbolische invariante Menge  $\Lambda$ , auf der  $f$  konjugiert ist zu einem Shift  $\sigma$ .

